



NetWorks Sp. z o.o.
Laboratorium Badań Środowiskowych
ul. Józefa Piłsudskiego 3
00-728 Warszawa
e-mail: Laboratorium@networks.pl



AB 419

S P R A W O Z D A N I E 3256/2023/OS
Z POMIARÓW PÓL ELEKTROMAGNETYCZNYCH
WYKONANYCH DLA POTRZEB OCHRONY ŚRODOWISKA

Badany obiekt: Instalacja radiokomunikacyjna T-Mobile Polska S.A.

Numer i nazwa: 38023 (48023N!) GEB_ELBLĄG_WARSZAWSKA

Adres: ELBLĄG, WARSZAWSKA 120, Powiat m. Elbląg, WOJ. WARMIŃSKO-MAZURSKIE

Data wykonania pomiarów: 2024-03-07

Sprawozdanie z badań bez pisemnej zgody laboratorium nie może być powielane inaczej niż w całości.
Wynik przedstawione w niniejszym sprawozdaniu odnoszą się wyłącznie do badanego obiektu i do warunków i konfiguracji urządzeń w dniu wykonywania pomiarów.

1. Właściciel badanego obiektu:

T-Mobile Polska S.A., ul. Marynarska 12, 02-674 Warszawa

2. Zleceniodawca:

T-Mobile Polska S.A., ul. Marynarska 12, 02-674 Warszawa

3. Przedstawiciel zleceniodawcy:

NetWorks Sp. z o.o.

4. Zakres zlecenia:

Wykonanie badania i opracowanie sprawozdania z pomiarów natężenia pola elektrycznego i pola magnetycznego dla instalacji radiokomunikacyjnej T-Mobile Polska S.A. zlokalizowanej w miejscowości ELBLĄG, WARSZAWSKA 120.

5. Cel zlecenia:

Wykonanie pomiarów pól elektromagnetycznych w otoczeniu instalacji radiokomunikacyjnej 38023 (48023N!) GEB_ELBLĄG_WARSZAWSKA w odniesieniu do wymagań określonych w *Rozporządzeniu Ministra Klimatu z dnia 17 lutego 2020 r. w sprawie sposobów sprawdzania dotrzymania dopuszczalnych poziomów pól elektromagnetycznych w środowisku (Dz.U. 2022 poz. 2630)*.

6. Pomiary zostały wykonane przez:

Żebrowski Mateusz
W pomiarach uczestniczył
Radomski Sebastian

7. Informacje o źródłach pól elektromagnetycznych

7.1. Sposób identyfikacji badanych źródeł pól elektromagnetycznych

Identyfikacji źródeł i parametrów technicznych dokonano na podstawie analizy dokumentacji dotyczącej zlecenia oraz obserwacji miejsca wykonywania badań.

7.2. Opis miejsca zainstalowania anten i urządzeń technicznych. Opis obiektu badań i jego otoczenia

Instalacja radiokomunikacyjna zlokalizowana jest na terenie ogrodzonym. Anteny zawieszono na wieży kratowej. Urządzenia sterujące oraz zasilające zainstalowano w kontenerze u podstawy wieży. Wokół instalacji znajduje się miasto.

Instalacja radiokomunikacyjna jest obiektem bezobsługowym. Okresowe stanowiska pracy związane są z prowadzonymi w zależności od potrzeb konserwacjami, przeglądami, strojeniem i naprawami.

7.3. Parametry techniczne źródła pola elektromagnetycznego

Dane przedstawiające maksymalne parametry pracy instalacji przekazane przez zleceniodawcę:

Parametry systemu nadawczo-odbiorczego:

Charakterystyka promieniowania		kierunkowa					
Rzeczywisty czas pracy [h/dobę]		24					
Warunki pracy		znamionowe					
Rodzaj wytwarzanego pola		stacjonarne					
Lp.	Częstotliwość lub zakresy częstotliwości pracy [MHz]	Typ/producent anteny	liczba anten	Azymut [°]	kąt pochylecia [°]	Wysokość środka elektrycznego anteny [m n.p.t]	Równoważna moc promieniowana izotropowo (EIRP) [W]
1	3600	AQQQ NSN	1	70	0-12**	29.4	22131
2	900/1800/2100	ATR4518R6v06 Huawei	1	70	1-13**/-1-11**/-1-11**	29.4	15352
3	3600	AQQQ NSN	1	180	0-12**	29.4	22131
4	900/1800/2100	ATR4518R6v06 Huawei	1	180	-4-8**/-2-10**/-2-10**	29.4	15352
5	3600	AQQQ NSN	1	280	0-12**	29.4	22131
6	900/1800/2100	ATR4518R6v06 Huawei	1	280	-2-10**/-3-9**/-3-9**	29.4	15352

* wskazane wartości kąta pochylecia anten, zgodnie z informacją uzyskaną od zleceniodawcy, są wartościami stałymi

** pomiary wykonano zgodnie z pkt 13., ppkt 2 załącznika do Rozporządzenia Ministra Klimatu z dnia 17 lutego 2020 r. (Dz. U. 2022, poz. 2630).

Parametry radiolinii:

Charakterystyka promieniowania		kierunkowa					
Rzeczywisty czas pracy [h/dobę]		24					
Warunki pracy		znamionowe					
Rodzaj wytwarzanego pola		stacjonarne					
Lp.	Linia radiowa			Antena			
	Typ/ Producent	Częstotliwość pracy [GHz]	Równoważna moc promieniowana izotropowo (EIRP) [W]	Typ/ producent	Średnica anteny [m]	Azymut [°]	Wysokość zainstalowania n.p.t [m]
1.	WTM 3100 38GHz 7MHz Harris Stratex	38	11	VHLP1-38 Andrew	0.3	52	27
2.	ERICSSON CN510 6363 Harris Stratex	38	13	ANT3_0.3 38 HP/HPX Ericsson	0.3	58	25
3.	NEC iPasolink 100E Harris Stratex	38	15	VHLP1-38 Andrew	0.3	94	27
4.	NP ERICSSON ML 6363 23GHz 2x28MHz XPIC Ericsson	23	3725	ANT3_0.6 23 HP/HPX Ericsson	0.6	219	26.5
5.	NEC iPasolink 100E Harris Stratex	38	15	VHLP1-38 Andrew	0.3	274	24.4
6.	ERICSSON CN510 6363 Harris Stratex	80	13	ANT3_0.3 80 HP Andrew	0.3	289	25

Sprawozdanie z badań bez pisemnej zgody laboratorium nie może być powielane inaczej niż w całości.

Wynik przedstawione w niniejszym sprawozdaniu odnoszą się wyłącznie do badanego obiektu i do warunków i konfiguracji urządzeń w dniu wykonywania pomiarów.

Charakterystyka promieniowania			kierunkowa				
Rzeczywisty czas pracy [h/dobę]			24				
Warunki pracy			znamionowe				
Rodzaj wytwarzanego pola			stacjonarne				
Lp.	Linia radiowa			Antena			
	Typ/ Producent	Częstotliwość pracy [GHz]	Równoważna moc promieniowana izotropowo (EIRP) [W]	Typ/ producent	Średnica anteny [m]	Azymut [°]	Wysokość zainstalowania n.p.t [m]
7.	NP ERICSSON RAU2X 23GHZ 2x56MHz XPIC Ericsson	23	5903	ANT2_0.6 23 HP/HPX Ericsson	0.6	294	27
8.	ERICSSON CN510 6363 Harris Stratex	80	13	ANT3_0.3 80 HP Andrew	0.3	345	23.7
9.	Ericsson CN510 RAU2X Harris Stratex	32	296	ANT2_0.3 32 HP Andrew	0.3	357	23.5

7.4 Inne źródła pól elektromagnetycznych

Na podstawie informacji otrzymanych od użytkownika oraz obserwacji otoczenia miejsca wykonywania pomiarów stwierdzono występowanie innych źródeł pola-EM, pracujących w systemie: linii radiowych (5GHz – 90GHz), które istotnie wpływają na wyniki pomiarów.

8. Opis pomiarów

8.1. Metoda badań

Zgodna z rozporządzeniem Ministra Klimatu z dnia 17 lutego 2020 r. w sprawie sposobów sprawdzania dotrzymania dopuszczalnych poziomów pól elektromagnetycznych w środowisku (Dz.U. 2022 poz. 2630), określona w pkt 25 ppkt 1 załącznika do niniejszego rozporządzenia.

8.2. Termin pomiarów i warunki środowiskowe

Podczas wykonywania pomiarów pól elektromagnetycznych nie występowały opady atmosferyczne. Wyniki pomiaru parametrów pogodowych przedstawia poniższa tabela:

Data [rrrr-mm-dd]	Godzina [hh:mm-hh:mm]	Warunki środowiskowe			
		Temperatura [°C]		Wilgotność względna [%]	
2024-03-07	13:20-14:40	Przed pomiarem	Po pomiarach	Przed pomiarem	Po pomiarach
		4.8	5.2	31.7	31.4

Przedstawione wyżej warunki środowiskowe, występujące podczas wykonywania pomiarów pól elektromagnetycznych, są zgodne ze specyfikacją techniczną użytego zestawu pomiarowego.

8.3. Warunki pracy urządzeń nadawczych

Podczas pomiarów w przypadku uzyskania wyniku pomiaru szerokopasmowego wykonanego zastosowaną metodą, dla zakresów częstotliwości od 10 MHz do 300 GHz, powiększonego o rozszerzoną niepewność pomiaru U dla współczynnika rozszerzenia $k = 2$ przekraczającego 70% najniższej dopuszczalnej wartości składowej elektrycznej lub magnetycznej pola dla objętych pomiarami zakresów częstotliwości, uwzględnia się poprawki pomiarowe przekazane przez zleceniodawcę, umożliwiające uwzględnienie maksymalnych parametrów pracy instalacji zgodnie z pkt 7 załącznika do Rozporządzeniem Ministra Klimatu z dnia 17 lutego 2020 r. w sprawie sposobów sprawdzania dotrzymania dopuszczalnych poziomów pól elektromagnetycznych w środowisku (Dz. U. 2022, poz. 2630) zaznaczając, że wymagane jest wykonanie pomiaru z wykorzystaniem miernika selektywnego. W przypadku uzyskania wyniku pomiaru szerokopasmowego wykonanego zastosowaną metodą, dla zakresów częstotliwości od 10 MHz do 300 GHz, powiększonego o rozszerzoną niepewność pomiaru U dla współczynnika rozszerzenia $k = 2$ nieprzekraczającego 70% najniższej dopuszczalnej wartości składowej elektrycznej lub magnetycznej pola dla objętych pomiarami zakresów częstotliwości, nie uwzględnia się poprawek pomiarowych.

Sprawozdanie z badań bez pisemnej zgody laboratorium nie może być powielane inaczej niż w całości.
 Wynik przedstawione w niniejszym sprawozdaniu odnoszą się wyłącznie do badanego obiektu i do warunków i konfiguracji urządzeń w dniu wykonywania pomiarów.

8.4. Wyposażenie pomiarowe

Zestaw pomiarowy służący do pomiaru natężenia składowej elektrycznej pola elektromagnetycznego złożony z szerokopasmowego miernika i sondy pomiarowej:

Oznaczenie miernika	Producent	Model	Numer fabryczny	Oznaczenie sondy	Producent	Model	Numer fabryczny
MW-01	Wavecontrol	Miernik pól elektromagnetycznych SMP2	22SN1956	SW-01	Wavecontrol	Sonda WPF60	22WP230196

Mierniki natężenia pola elektromagnetycznego podlegają okresowemu sprawdzeniu zgodnie z procedurą wewnętrzną P-03 i PB-01. Świadectwo wzorcowania zestawu pomiarowego z dnia 10 maja 2023 o numerze LWiMP/W/173/23 wydane przez Politechnikę Wrocławską.
 Data ważności świadectwa wzorcowania: 10 maja 2025 (zgodnie z procedurą wewnętrzną P-03).

Oznaczenie miernika	Producent	Model	Numer fabryczny	Oznaczenie sondy	Producent	Model	Numer fabryczny
MW-01	Wavecontrol	Miernik pól elektromagnetycznych SMP2	22SN1956	SW-02	Wavecontrol	Sonda WPF3-HP	22WP030433

Mierniki natężenia pola elektromagnetycznego podlegają okresowemu sprawdzeniu zgodnie z procedurą wewnętrzną P-03 i PB-01. Świadectwo wzorcowania zestawu pomiarowego z dnia 10 czerwca 2022 o numerze LWiMP/W/154/22 wydane przez Politechnikę Wrocławską.
 Data ważności świadectwa wzorcowania: 10 czerwca 2024 (zgodnie z procedurą wewnętrzną P-03).

Termohigrometr:

Oznaczenie:	TH-07	Producent:	AZ INSTRUMENT CORP	Model:	Termohigrometr AZ8706
-------------	-------	------------	--------------------	--------	-----------------------

Data ważności świadectwa wzorcowania: 3 stycznia 2025 (zgodnie z procedurą wewnętrzną P-03).

Dalmierz:

Oznaczenie	Producent	Typ	Numer seryjny	Nr świadectwa wzorcowania	Data świadectwa wzorcowania
D-04	Leica	Dalmierz Leica Disto X310	843810404	1146.1-M11-4180-396/15	8 kwietnia 2015

Data ważności świadectwa wzorcowania: 8 kwietnia 2025 (zgodnie z procedurą wewnętrzną P-03).

Odbiornik GNSS:

Odbiornik GNSS wbudowany w miernik natężenia pola elektromagnetycznego użyty podczas pomiarów	Producent	Model
	UBlox	MAX-M8Q

Odbiorniki podlegają okresowemu sprawdzeniu zgodnie z procedurą wewnętrzną P-03.

9. Wyniki pomiarów

Pole elektryczne

Nr pionu	Opis umiejscowienia pionu (punktu) pomiarowego	Wysokość pomiaru [m]	Zmierzona wartość natężenia pola elektrycznego E [V/m] ^{1,5}			Wartość natężenia pola elektrycznego powiększona o niepewność pomiaru ⁴ E [V/m]	Wskaźnikowa wartość poziomu emisji pól elektromagnetycznych WME ³	Współrzędne geograficzne pionu (punktu) pomiarowego ²
			Sonda SW-01	Sonda SW-02	SUMA			
1	DPP - w płaszczyźnie otworu okiennego Warsztatu mechanicznego, na parterze, ul. Warszawska 120a	2.0	1.3	1.3	1.3	2.1	0.07	54°8'57.5" 19°23'16.8"
2	DPP - w płaszczyźnie otworu okiennego biura, na parterze, ul. Warszawska 120a	2.0	1.3	1.3	1.3	2.1	0.07	54°8'57.5" 19°23'17.9"

Sprawozdanie z badań bez pisemnej zgody laboratorium nie może być powielane inaczej niż w całości.
 Wynik przedstawione w niniejszym sprawozdaniu odnoszą się wyłącznie do badanego obiektu i do warunków i konfiguracji urządzeń w dniu wykonywania pomiarów.

3	DPP - w płaszczyźnie otworu okiennego Warsztatu mechanicznego, na parterze, ul. Warszawska 120a	0.3-2.0	<1.0*	<1.0*	<1.0*	1.6	0.06	54°8'56.8" 19°23'18.6"
4	DPP - w płaszczyźnie otworu okiennego Magazynu komisji samochodowego, na parterze, ul. Warszawska 120a	2.0	1.3	1.3	1.3	2.1	0.07	54°8'57.5" 19°23'20.4"
5	DPP - w płaszczyźnie otworu okiennego biura, na parterze, ul. Warszawska 120a	2.0	1.2	1.2	1.2	1.9	0.07	54°8'57.5" 19°23'20.8"
6	DPP - W sklepie budowlanym ul. Żuławska 25	0.3-2.0	<1.0*	<1.0*	<1.0*	1.6	0.06	54°8'59.3" 19°23'16.8"
7	GKP w odległości 8m od anteny sektorowej az. 280° I anteny radioliniowej az. 274° az. 289° az. 294°	2.0	1.1	1.1	1.1	1.8	0.06	54°8'56.8" 19°23'17.2"
8	GKP w odległości 34m od anteny sektorowej az. 280°	2.0	1.2	1.2	1.2	1.9	0.07	54°8'57.1" 19°23'15.7"
9	GKP w odległości 72m od anteny sektorowej az. 280°	2.0	1.3	1.3	1.3	2.1	0.07	54°8'57.1" 19°23'14.3"
10	GKP w odległości 12m od anteny sektorowej az. 180°	2.0	1.3	1.3	1.3	2.1	0.07	54°8'56.4" 19°23'17.5"
11	GKP w odległości 37m od anteny sektorowej az. 180°	2.0	1.3	1.3	1.3	2.1	0.07	54°8'55.7" 19°23'17.5"
12	GKP w odległości 86m od anteny sektorowej az. 180°	2.0	1.5	1.5	1.5	2.4	0.09	54°8'53.9" 19°23'17.5"
13	GKP w odległości 7m od anteny sektorowej az. 70° I anten radioliniowych az. 52° az. 58° I az 94°	0.3-2.0	<1.0*	<1.0*	<1.0*	1.6	0.06	54°8'57.1" 19°23'18.2"
14	GKP w odległości 38m od anteny sektorowej az. 70°	2.0	1.2	1.2	1.2	1.9	0.07	54°8'57.1" 19°23'19.7"
15	GKP w odległości 81m od anteny sektorowej az. 70°	2.0	1.1	1.1	1.1	1.8	0.06	54°8'57.8" 19°23'21.8"
16	GKP w odległości 7m od anteny radioliniowej az. 219°	0.3-2.0	<1.0*	<1.0*	<1.0*	1.6	0.06	54°8'56.8" 19°23'17.5"
17	GKP w odległości 36m od anteny radioliniowej az. 219°	2.0	1.2	1.2	1.2	1.9	0.07	54°8'56.0" 19°23'16.4"
18	GKP w odległości 54m od anteny radioliniowej az. 274°	2.0	1.3	1.3	1.3	2.1	0.07	54°8'56.8" 19°23'14.6"

Sprawozdanie z badań bez pisemnej zgody laboratorium nie może być powielane inaczej niż w całości.
 Wynik przedstawione w niniejszym sprawozdaniu odnoszą się wyłącznie do badanego obiektu i do warunków i konfiguracji urządzeń w dniu wykonywania pomiarów.

19	GKP w odległości 40m od anteny radioliniowej az. 289° I az. 294°	2.0	1.3	1.3	1.3	2.1	0.07	54°8'57.1" 19°23'15.7"
20	GKP w odległości 20m od anteny radioliniowej az. 52°	2.0	1.2	1.2	1.2	1.9	0.07	54°8'57.1" 19°23'18.6"
21	GKP w odległości 29m od anteny radioliniowej az. 58°	2.0	1.2	1.2	1.2	1.9	0.07	54°8'57.1" 19°23'19.0"
22	GKP w odległości 40m od anteny radioliniowej az. 94°	0.3-2.0	<1.0*	<1.0*	<1.0*	1.6	0.06	54°8'56.8" 19°23'20.0"
23	GKP w odległości 43m od anteny radioliniowej az. 345°	2.0	1.4	1.4	1.4	2.2	0.08	54°8'58.2" 19°23'17.2"
24	GKP w odległości 41m od anteny radioliniowej az. 357°	2.0	1.3	1.3	1.3	2.1	0.07	54°8'58.2" 19°23'17.5"
25	GKP w odległości 5m od anteny radioliniowej az. 357° I az. 345°	2.0	1.1	1.1	1.1	1.8	0.06	54°8'57.1" 19°23'17.5"
26	PKP na az. 315° w odległości 28m od anteny sektorowej az. 280°	2.0	1.1	1.1	1.1	1.8	0.06	54°8'57.5" 19°23'16.4"
27	PKP na az. 300° w odległości 34m od anteny sektorowej az. 280°	2.0	1.2	1.2	1.2	1.9	0.07	54°8'57.5" 19°23'16.1"
28	PKP na az. 287° w odległości 35m od anteny sektorowej az. 280°	2.0	1.3	1.3	1.3	2.1	0.07	54°8'57.1" 19°23'15.7"
29	PKP na az. 272° w odległości 35m od anteny sektorowej az. 280°	2.0	1.3	1.3	1.3	2.1	0.07	54°8'56.8" 19°23'15.7"
30	PKP na az. 260° w odległości 51m od anteny sektorowej az. 280°	2.0	1.3	1.3	1.3	2.1	0.07	54°8'56.4" 19°23'14.6"
31	PKP na az. 245° w odległości 52m od anteny sektorowej az. 280°	2.0	1.3	1.3	1.3	2.1	0.07	54°8'56.0" 19°23'15.0"
32	PKP na az. 215° w odległości 36m od anteny sektorowej az. 180°	2.0	1.2	1.2	1.2	1.9	0.07	54°8'55.7" 19°23'16.4"
33	PKP na az. 200° w odległości 37m od anteny sektorowej az. 180°	0.3-2.0	<1.0*	<1.0*	<1.0*	1.6	0.06	54°8'55.7" 19°23'17.2"
34	PKP na az. 187° w odległości 57m od anteny sektorowej az. 180°	2.0	1.4	1.4	1.4	2.2	0.08	54°8'55.0" 19°23'17.2"
35	PKP na az. 173° w odległości 56m od anteny	2.0	1.4	1.4	1.4	2.2	0.08	54°8'55.0" 19°23'18.2"

Sprawozdanie z badań bez pisemnej zgody laboratorium nie może być powielane inaczej niż w całości.
 Wynik przedstawione w niniejszym sprawozdaniu odnoszą się wyłącznie do badanego obiektu i do warunków i konfiguracji urządzeń w dniu wykonywania pomiarów.

	sektorowej az. 180°							
36	PKP na az. 160° w odległości 36m od anteny sektorowej az. 180°	2.0	1.2	1.2	1.2	1.9	0.07	54°8'55.7" 19°23'18.2"
37	PKP na az. 145° w odległości 37m od anteny sektorowej az. 180°	2.0	1.2	1.2	1.2	1.9	0.07	54°8'55.7" 19°23'19.0"
38	PKP na az. 105° w odległości 39m od anteny sektorowej az. 70°	2.0	1.1	1.1	1.1	1.8	0.06	54°8'56.4" 19°23'19.7"
39	PKP na az. 90° w odległości 42m od anteny sektorowej az. 70°	0.3-2.0	<1.0*	<1.0*	<1.0*	1.6	0.06	54°8'56.8" 19°23'20.0"
40	PKP na az. 77° w odległości 44m od anteny sektorowej az. 70°	2.0	1.2	1.2	1.2	1.9	0.07	54°8'57.1" 19°23'20.0"
41	PKP na az. 63° w odległości 50m od anteny sektorowej az. 70°	2.0	1.4	1.4	1.4	2.2	0.08	54°8'57.5" 19°23'20.4"
42	PKP na az. 51° w odległości 32m od anteny sektorowej az. 70°	2.0	1.2	1.2	1.2	1.9	0.07	54°8'57.5" 19°23'19.0"
43	PKP na az. 35° w odległości 23m od anteny sektorowej az. 70°	2.0	1.1	1.1	1.1	1.8	0.06	54°8'57.5" 19°23'18.6"
-	GKP w odległości 156m od anteny sektorowej az. 180°	0.3-2.0	<1.0*	<1.0*	<1.0*	1.6	0.06	54°8'51.7" 19°23'17.5"
-	GKP w odległości 153m od anteny sektorowej az. 70°	0.3-2.0	<1.0*	<1.0*	<1.0*	1.6	0.06	54°8'58.6" 19°23'25.8"
-	GKP w odległości 404m od anteny sektorowej az. 280°	0.3-2.0	<1.0*	<1.0*	<1.0*	1.6	0.06	54°8'58.9" 19°22'55.6"

Pole magnetyczne (wyznaczone na podstawie pomiaru wartości natężenia pola elektrycznego)

Nr pionu	Opis umiejscowienia pionu (punktu pomiarowego)	Wysokość pomiaru [m]	Wartość natężenia pola magnetycznego H [A/m] ¹			Wartość natężenia pola magnetycznego powiększona o niepewność pomiaru ⁴ H [A/m]	Wskaźnikowa wartość poziomu emisji pól elektromagnetycznych WM _H ³	Współrzędne geograficzne pionu (punktu pomiarowego) ²
			Sonda SW-01	Sonda SW-02	SUMA			
1	DPP - w płaszczyźnie otworu okiennego Warsztatu mechanicznego, na parterze, ul. Warszawska 120a	2.0	0.003	0.003	0.003	0.006	0.08	54°8'57.5" 19°23'16.8"

Sprawozdanie z badań bez pisemnej zgody laboratorium nie może być powielane inaczej niż w całości.
 Wynik przedstawione w niniejszym sprawozdaniu odnoszą się wyłącznie do badanego obiektu i do warunków i konfiguracji urządzeń w dniu wykonywania pomiarów.

2	DPP - w płaszczyźnie otworu okiennego biura, na parterze, ul. Warszawska 120a	2.0	0.003	0.003	0.003	0.006	0.08	54°8'57.5" 19°23'17.9"
3	DPP - w płaszczyźnie otworu okiennego Warsztatu mechanicznego, na parterze, ul. Warszawska 120a	0.3-2.0	<0.003*	<0.003*	<0.003*	0.004	0.06	54°8'56.8" 19°23'18.6"
4	DPP - w płaszczyźnie otworu okiennego Magazynu komisowego samochodowego, na parterze, ul. Warszawska 120a	2.0	0.003	0.003	0.003	0.006	0.08	54°8'57.5" 19°23'20.4"
5	DPP - w płaszczyźnie otworu okiennego biura, na parterze, ul. Warszawska 120a	2.0	0.003	0.003	0.003	0.005	0.07	54°8'57.5" 19°23'20.8"
6	DPP - W sklepie budowlanym ul. Żuławska 25	0.3-2.0	<0.003*	<0.003*	<0.003*	0.004	0.06	54°8'59.3" 19°23'16.8"
7	GKP w odległości 8m od anteny sektorowej az. 280° I anteny radioliniowej az. 274° az. 289° az. 294°	2.0	0.003	0.003	0.003	0.005	0.06	54°8'56.8" 19°23'17.2"
8	GKP w odległości 34m od anteny sektorowej az. 280°	2.0	0.003	0.003	0.003	0.005	0.07	54°8'57.1" 19°23'15.7"
9	GKP w odległości 72m od anteny sektorowej az. 280°	2.0	0.003	0.003	0.003	0.006	0.08	54°8'57.1" 19°23'14.3"
10	GKP w odległości 12m od anteny sektorowej az. 180°	2.0	0.003	0.003	0.003	0.006	0.08	54°8'56.4" 19°23'17.5"
11	GKP w odległości 37m od anteny sektorowej az. 180°	2.0	0.003	0.003	0.003	0.006	0.08	54°8'55.7" 19°23'17.5"
12	GKP w odległości 86m od anteny sektorowej az. 180°	2.0	0.004	0.004	0.004	0.006	0.09	54°8'53.9" 19°23'17.5"
13	GKP w odległości 7m od anteny	0.3-2.0	<0.003*	<0.003*	<0.003*	0.004	0.06	54°8'57.1" 19°23'18.2"

Sprawozdanie z badań bez pisemnej zgody laboratorium nie może być powielane inaczej niż w całości.

Wynik przedstawione w niniejszym sprawozdaniu odnoszą się wyłącznie do badanego obiektu i do warunków i konfiguracji urządzeń w dniu wykonywania pomiarów.

	sektorowej az. 70° I anten radioliniowych az. 52° az. 58° I az 94°							
14	GKP w odległości 38m od anteny sektorowej az. 70°	2.0	0.003	0.003	0.003	0.005	0.07	54°8'57.1" 19°23'19.7"
15	GKP w odległości 81m od anteny sektorowej az. 70°	2.0	0.003	0.003	0.003	0.005	0.06	54°8'57.8" 19°23'21.8"
16	GKP w odległości 7m od anteny radioliniowej az. 219°	0.3-2.0	<0.003*	<0.003*	<0.003*	0.004	0.06	54°8'56.8" 19°23'17.5"
17	GKP w odległości 36m od anteny radioliniowej az. 219°	2.0	0.003	0.003	0.003	0.005	0.07	54°8'56.0" 19°23'16.4"
18	GKP w odległości 54m od anteny radioliniowej az. 274°	2.0	0.003	0.003	0.003	0.006	0.08	54°8'56.8" 19°23'14.6"
19	GKP w odległości 40m od anteny radioliniowej az. 289° I az. 294°	2.0	0.003	0.003	0.003	0.006	0.08	54°8'57.1" 19°23'15.7"
20	GKP w odległości 20m od anteny radioliniowej az. 52°	2.0	0.003	0.003	0.003	0.005	0.07	54°8'57.1" 19°23'18.6"
21	GKP w odległości 29m od anteny radioliniowej az. 58°	2.0	0.003	0.003	0.003	0.005	0.07	54°8'57.1" 19°23'19.0"
22	GKP w odległości 40m od anteny radioliniowej az. 94°	0.3-2.0	<0.003*	<0.003*	<0.003*	0.004	0.06	54°8'56.8" 19°23'20.0"
23	GKP w odległości 43m od anteny radioliniowej az. 345°	2.0	0.004	0.004	0.004	0.006	0.08	54°8'58.2" 19°23'17.2"
24	GKP w odległości 41m od anteny radioliniowej az. 357°	2.0	0.003	0.003	0.003	0.006	0.08	54°8'58.2" 19°23'17.5"
25	GKP w odległości 5m od anteny radioliniowej az. 357° I az. 345°	2.0	0.003	0.003	0.003	0.005	0.06	54°8'57.1" 19°23'17.5"
26	PKP na az. 315° w odległości 28m od anteny sektorowej az. 280°	2.0	0.003	0.003	0.003	0.005	0.06	54°8'57.5" 19°23'16.4"
27	PKP na az. 300° w odległości 34m od anteny	2.0	0.003	0.003	0.003	0.005	0.07	54°8'57.5" 19°23'16.1"

Sprawozdanie z badań bez pisemnej zgody laboratorium nie może być powielane inaczej niż w całości.
 Wynik przedstawione w niniejszym sprawozdaniu odnoszą się wyłącznie do badanego obiektu i do warunków i konfiguracji urządzeń w dniu wykonywania pomiarów.

	sektorowej az. 280°							
28	PKP na az. 287° w odległości 35m od anteny sektorowej az. 280°	2.0	0.003	0.003	0.003	0.006	0.08	54°8'57.1" 19°23'15.7"
29	PKP na az. 272° w odległości 35m od anteny sektorowej az. 280°	2.0	0.003	0.003	0.003	0.006	0.08	54°8'56.8" 19°23'15.7"
30	PKP na az. 260° w odległości 51m od anteny sektorowej az. 280°	2.0	0.003	0.003	0.003	0.006	0.08	54°8'56.4" 19°23'14.6"
31	PKP na az. 245° w odległości 52m od anteny sektorowej az. 280°	2.0	0.003	0.003	0.003	0.006	0.08	54°8'56.0" 19°23'15.0"
32	PKP na az. 215° w odległości 36m od anteny sektorowej az. 180°	2.0	0.003	0.003	0.003	0.005	0.07	54°8'55.7" 19°23'16.4"
33	PKP na az. 200° w odległości 37m od anteny sektorowej az. 180°	0.3-2.0	<0.003*	<0.003*	<0.003*	0.004	0.06	54°8'55.7" 19°23'17.2"
34	PKP na az. 187° w odległości 57m od anteny sektorowej az. 180°	2.0	0.004	0.004	0.004	0.006	0.08	54°8'55.0" 19°23'17.2"
35	PKP na az. 173° w odległości 56m od anteny sektorowej az. 180°	2.0	0.004	0.004	0.004	0.006	0.08	54°8'55.0" 19°23'18.2"
36	PKP na az. 160° w odległości 36m od anteny sektorowej az. 180°	2.0	0.003	0.003	0.003	0.005	0.07	54°8'55.7" 19°23'18.2"
37	PKP na az. 145° w odległości 37m od anteny sektorowej az. 180°	2.0	0.003	0.003	0.003	0.005	0.07	54°8'55.7" 19°23'19.0"
38	PKP na az. 105° w odległości 39m od anteny sektorowej az. 70°	2.0	0.003	0.003	0.003	0.005	0.06	54°8'56.4" 19°23'19.7"
39	PKP na az. 90° w odległości 42m od anteny sektorowej az. 70°	0.3-2.0	<0.003*	<0.003*	<0.003*	0.004	0.06	54°8'56.8" 19°23'20.0"
40	PKP na az. 77° w odległości 44m od anteny	2.0	0.003	0.003	0.003	0.005	0.07	54°8'57.1" 19°23'20.0"

Sprawozdanie z badań bez pisemnej zgody laboratorium nie może być powielane inaczej niż w całości.
 Wynik przedstawione w niniejszym sprawozdaniu odnoszą się wyłącznie do badanego obiektu i do warunków i konfiguracji urządzeń w dniu wykonywania pomiarów.

	sektorowej az. 70°							
41	PKP na az. 63° w odległości 50m od anteny sektorowej az. 70°	2.0	0.004	0.004	0.004	0.006	0.08	54°8'57.5" 19°23'20.4"
42	PKP na az. 51° w odległości 32m od anteny sektorowej az. 70°	2.0	0.003	0.003	0.003	0.005	0.07	54°8'57.5" 19°23'19.0"
43	PKP na az. 35° w odległości 23m od anteny sektorowej az. 70°	2.0	0.003	0.003	0.003	0.005	0.06	54°8'57.5" 19°23'18.6"
-	GKP w odległości 156m od anteny sektorowej az. 180°	0.3-2.0	<0.003*	<0.003*	<0.003*	0.004	0.06	54°8'51.7" 19°23'17.5"
-	GKP w odległości 153m od anteny sektorowej az. 70°	0.3-2.0	<0.003*	<0.003*	<0.003*	0.004	0.06	54°8'58.6" 19°23'25.8"
-	GKP w odległości 404m od anteny sektorowej az. 280°	0.3-2.0	<0.003*	<0.003*	<0.003*	0.004	0.06	54°8'58.9" 19°22'55.6"

GKP – Główny Kierunek Pomiarowy

DPP – Dodatkowy Pion Pomiarowy

PKP – Pomocniczy Kierunek Pomiarowy

¹ wyniki oznaczone * są wynikami poniżej czułości zestawu pomiarowego i są wynikami spoza zakresu akredytacji. Do obliczenia wyniku skorygowanego przyjęto wartość skorelowaną z rzeczywistym wynikiem pomiaru - dolną granicę akredytowanego zakresu pomiarowego metody

² współrzędne geograficzne pozyskane metodą pomiaru bezpośredniego

³ do wyznaczenia wartości wskaźnikowej W_{ME} i W_{MH} przyjęto na podstawie uzgodnień z klientem oraz rozpoznania źródeł, jako wartości dopuszczalne pola elektrycznego i magnetycznego odpowiednio 28 V/m i 0,073 A/m.

⁴ do wyznaczenia niepewności dla wyników poniżej czułości zestawu pomiarowego, przyjęto niepewność dla minimalnej wartości z zakresu pomiarowego.

⁵ maksymalna wartość chwilowa

Niepewność oszacowano zgodnie z dokumentem P-03 „Procedura nadzoru nad wyposażeniem” w postaci niepewności rozszerzonej wynikającej z niepewności standardowej pomnożonej przez współczynnik rozszerzenia $k=2$.

Całkowita szacowana niepewność rozszerzona składowej E wynosi odpowiednio:

sonda SW-01: 59.8% dla częstotliwości do 40 GHz, sonda SW-02: 33.2% dla częstotliwości do 4 GHz

Umieszczenie pionów (punktów) pomiarowych przedstawiono w załączniku nr 2 do niniejszego sprawozdania.

10. Omówienie wyników pomiarów

W związku z tym, że żadna z wartości zmierzonych, udokumentowanych w tabelach w pkt. 9, uzyskanych w skutek zastosowania pomiaru szerokopasmowego, powiększonego o rozszerzoną niepewność pomiaru U dla współczynnika rozszerzenia $k = 2$ nie przekroczyła 70% najniższej dopuszczalnej wartości składowej elektrycznej lub magnetycznej pola dla objętych pomiarami zakresów częstotliwości, nie uwzględnia się poprawek pomiarowych.

W wyniku zastosowania sposobu sprawdzenia dotrzymania dopuszczalnych poziomów pól elektromagnetycznych w środowisku, zgodnie pkt 25 ppkt 1 Rozporządzenia Ministra Klimatu z dnia 17 lutego 2020 r. (Dz. U. 2022, poz. 2630), w związku z tym, że żadna z wartości wskaźnikowych, udokumentowanych w tabelach w pkt. 9 nie przekracza wartości 1, stwierdza się, że w miejscach, w których wykonano pomiary w otoczeniu instalacji radiokomunikacyjnej 38023 (48023N!) GEB_ELBLAG_WARSZAWSKA,

Sprawozdanie z badań bez pisemnej zgody laboratorium nie może być powielane inaczej niż w całości.

Wynik przedstawione w niniejszym sprawozdaniu odnoszą się wyłącznie do badanego obiektu i do warunków i konfiguracji urządzeń w dniu wykonywania pomiarów.

dopuszczalne poziomy pól elektromagnetycznych w środowisku należy uznać za dotrzymane.

Miejsca niedostępne podczas wykonywania pomiarów wskazane zostały w pkt. 9 (Wyniki pomiarów) lub na załączniku przedstawiającym usytuowanie pionów pomiarowych.

11. Podstawa prawna

- 1) Ustawa z dnia 27 kwietnia 2001 r. Prawo ochrony środowiska (Dz.U. 2022 poz. 2556)
- 2) Rozporządzenie Ministra Zdrowia z dnia 17 grudnia 2019 r. w sprawie dopuszczalnych poziomów pól elektromagnetycznych w środowisku (Dz. U. 2019, poz. 2448)
- 3) Rozporządzenie Ministra Klimatu z dnia 17 lutego 2020 r. w sprawie sposobów sprawdzania dotrzymania dopuszczalnych poziomów pól elektromagnetycznych w środowisku (Dz. U. 2022, poz. 2630),
- 4) Akredytacja nr AB 419 wydana przez Polskie Centrum Akredytacji (wydanie 22, z dnia 9 stycznia 2024 r.)

12. Spis załączników

- Załącznik 1. Lokalizacja obiektu badań
- Załącznik 2. Usytuowanie pionów (punktów) pomiarowych
- Załącznik 3. Dokumentacja fotograficzna obiektu badań

13. Data wydania i autoryzowania sprawozdania

Obliczenia i sprawozdanie wykonał :

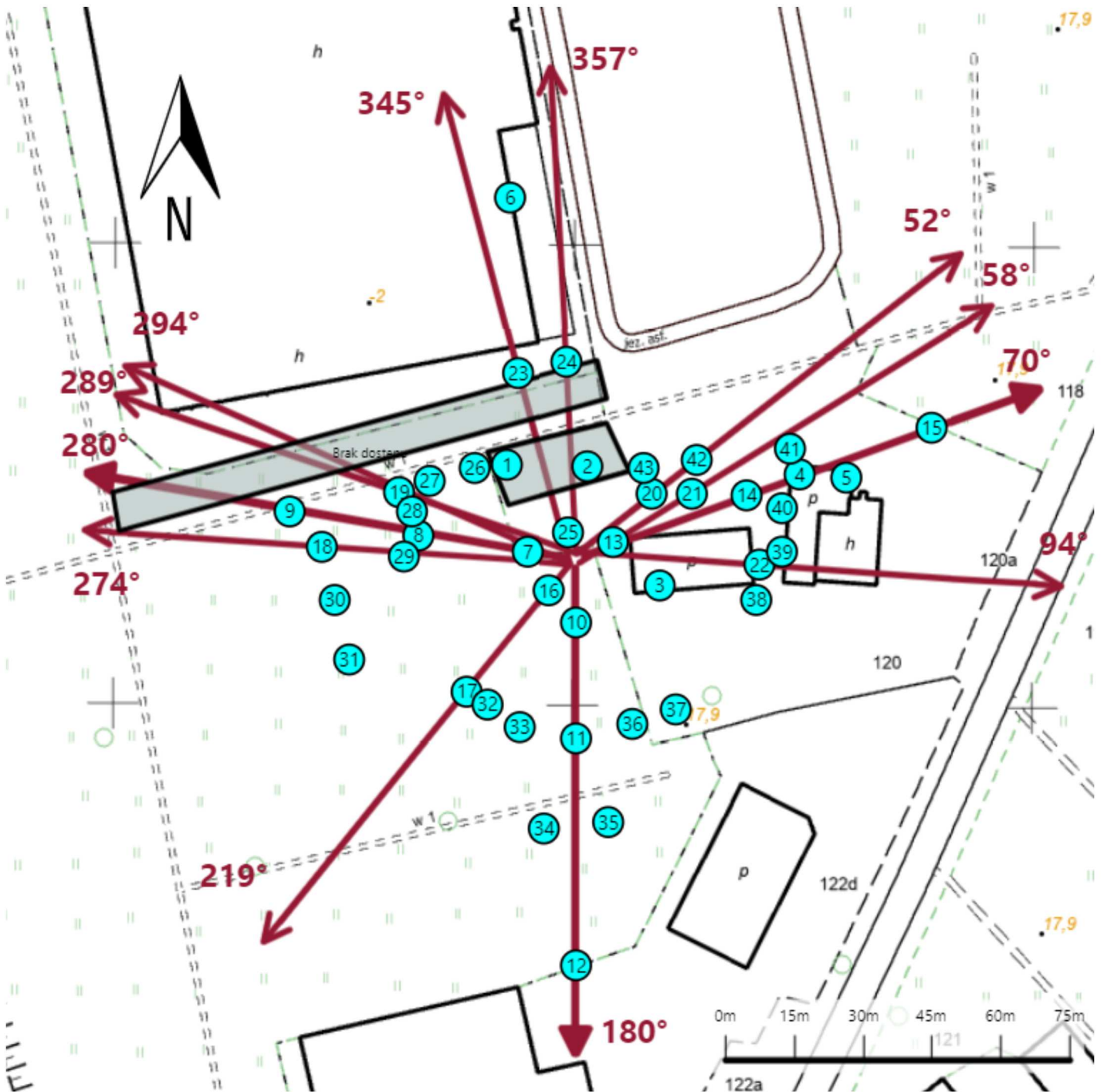
Sprawozdanie autoryzował:

Koniec sprawozdania

Sprawozdanie z badań bez pisemnej zgody laboratorium nie może być powielane inaczej niż w całości.
Wynik przedstawione w niniejszym sprawozdaniu odnoszą się wyłącznie do badanego obiektu i do warunków i konfiguracji urządzeń w dniu wykonywania pomiarów.



Załącznik nr 1	Instalacja radiokomunikacyjna T-Mobile Polska S.A. 38023 (48023N!) GEB_ELBLAG_WARSZAWSKA Lokalizacja instalacji
----------------	---



Załącznik nr 2	<p style="text-align: center;">Instalacja radiokomunikacyjna T-Mobile Polska S.A. GEB_ELBLAG_WARSZAWSKA (48023N!) Usytuowanie pionów pomiarowych w otoczeniu instalacji radiokomunikacyjnej</p>
Legenda:	<p style="text-align: center;"> Brak dostępu Pion pomiarowy Kierunek oddziaływania anten sektorowych Kierunek oddziaływania anten radioliniowych </p>



Załącznik nr 3

Instalacja radiokomunikacyjna T-Mobile Polska S.A.
38023 (48023N!) GEB_ELBLAG_WARSZAWSKA

Dokumentacja fotograficzna